

九州大学 工学部 正 海田輝え 正 桶田哲也 正 粟吉陽一
学 古原達弘 学 = 稲了

1. はじめに 河川やエスチュアリー等の水域において、巻き上げられた底泥や直接これら水域に流入した微細粒子（主にシルト及び粘土）は水流によりかなり遠くまで輸送される。これら微細粒子はSS自身や粒子間に吸着された有害物質の拡散・輸送等の水質環境問題、あるいは水深の確保というような港湾の維持・管理の問題等に密接にかかわっている。従って、水流の挙動に伴う微細粒子の堆積位置、堆積に要する時間、輸送距離等の予測を早急に可能とする事が必要であると考えられる。以上の観点から、著者らはシルト分が多くてこんど凝集しない粒子の一定剪断応力下での沈降では、大粒子から徐々に沈降する事、初期粒度分布式から沈降過程が予測できることを明らかにして。本研究では、粘土成分が多く粒子のフロック化が顕著な試料について、一定剪断応力下での沈降実験を行ない、その結果フロック径の大きさを粒子から先に沈降するとは限らず、大きなフロックでも小さなフロックは流水中に浮遊し続ける事が明らかになつた。さらに、同一径のフロック粒子の沈降速度にすれば異なる事を考慮して、沈降過程をあわ方式を導き、実験値と比較・検討を行なつた。

2. 実験装置及び方法 実験に用いた円形回転水路の概略を図-1に示す。水路はリニアと円形水路（深さ25cm 内径90cm、外径110cm）よりなる。この構造水路では遠心力によらず半径方向の一次流が生じるが、リニアと水路を逆方向に回転させ、二次流の影響が底面付近で最小となるよう両者の回転速度をあらかじめ求めている。実験は所定の濃度の粘土懸濁液を充分に混合攪拌した後、所定の一一定剪断応力の下で行なつた。SSの測定は経時に水面下7cmのところから採水して試料を孔径0.1mmのメンブレンフィルターを用いて求めた。また、浮遊状態にあるフロックの粒度分布はリソルブの顕微鏡写真から体積粒度分布として求めた。フロックの沈降速度は図-2に示したサンプラーの下面につけた人フロックを沈降させ、次にサンプラーを裏返して下面に沈降するまでの時間を算定した。また、下面に置いたフロックを撮影しフロック径を求めた。実験時の水温は15℃に保ち、水深基準ヘレイトルズ数は(5~11)×10⁴である。また、すべての実験は、比重1.025（塩度使用）の塩水中で行なつた。試料としては、市販カオリニ（Engelhard ASP 600）を用いた。この試料の物理値は、比重2.66、平均粒径0.69μm、液性限界65%、塑性限界6%である。なお、実験中にあらかじめ試料の物理変化を防ぐ為、実験は20±1℃の恒温室内で行なつた。

3. 実験結果 図-3は初期濃度(C_0)を2%として、剪断応力(T)を0.05, 0.1, 0.2 N/m²とした場合のSSの経時変化を示す。SSは時間の経過と共に減少し、その後減少率が低下し、最終的にはほぼ一定値(C_0)に近づき、各々について沈降し得ない粒子や粒子群（フロック）が存在する事を示している。図-4には顕微鏡写真より求めたフロックの平均径(d_{50})の経時変化を示した。どのてにつけても沈降開始から1~2時間程度まで d_{50} は増加するが、その後はSSが減少するにむかわらず d_{50} はほとんど変化していない。また、図-5で $T=0.075\text{ N/m}^2$ での沈降開始時、1時間後及び2時間経過後の浮遊状態にあるフロック径(d)と沈降速度(V)との関係を示した。各時間において d と V との関係は、 $V = \alpha (\frac{d}{d_0})^\beta$ ($\alpha: d=d_0$ での沈降速度) である。本研究で用い下試料の場合の値は、 $\alpha=1$ となる。

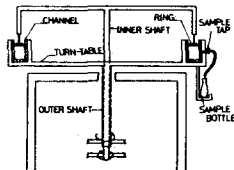


図-1 円形回転水路

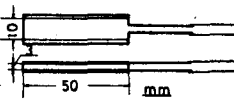


図-2 サンプラー

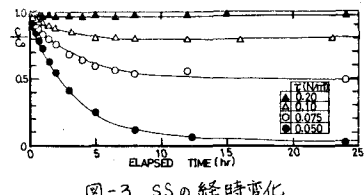
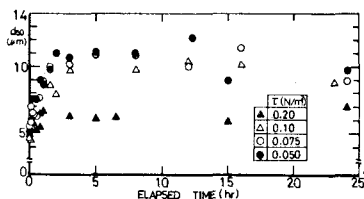


図-3 SSの経時変化

図-4 d_{50} の経時変化

てある。さらに、 d の値は同一の d では、時間の経過と共に小さくなる傾向が認められる。これらより、フロック化が弱い粒子が剪断流下で沈降する場合、フロック径の大きなものから沈降するとは限らず、同一の径のフロックでも密度の大きなフロックが先に沈降し、充分時間が経過した時点では密度の小さなものが浮遊し続けるものと考えられる。また、24時間後のSSが変化しなくなった時点でも、浮遊状態のフロックはその径に対する沈降速度を有し、実測値で $d=25\mu\text{m}$ 時、 $V=0.03\text{mm/sec}$ 、 $d=8\mu\text{m}$ 時 $V=0.01\text{mm/sec}$ 程度(図-5参照)であり約3倍異なっており。この事は、剪断流下では粒径と正の相関のある何らかの浮力が生じている事を示唆している。

4. 濃集性を有する試料の剪断流下での沈降過程

ここで、3で得られた結果を基に沈降過程を表わす式を導いてみる。まず、

1)水路主流部は混合拡散が充分に行なわれるため、濃度の鉛直分布は横断面均匀。

2)粒子の棒状粒子は一度沈降すると同一剪断応力下での内浮上はほとんどない。

これらの実験結果を踏まえて、次の仮定をおく。

1) フロックは成長しきっており、分布は $f(d)=8d^2$ である。

2) フロックの出来方にばらつきがあり、同一粒径でも密度は異なるが、その出来具合の分布は均一分布である。また、 V (沈降速度)の分布幅は d に比例し、さらに、 $V = \mu(\frac{d}{d_0})^2$ である。

3) 沈降を妨げようとする力は d^2 に比例するとする。従って、剪断流下

での沈降速度は $V=d(\frac{d}{d_0})-\beta d \propto t$ である。

これらから、主流部におけるある出来具合のある粒径のフロックの水深方向に平均した濃度 $\bar{C}(d, \alpha)$ の変化は、

$$H \frac{\partial \bar{C}(d, \alpha)}{\partial t} + V(d, d) \bar{C}(d, \alpha)|_{t=0} = 0 \quad \cdots \cdots \cdots (1)$$

$$t=0 \text{ 时 } \bar{C}(d, \alpha) = \bar{C}_0(d, \alpha) \text{ とする}$$

$$\bar{C}(d, \alpha) = \bar{C}_0(d, \alpha) \exp \left[- \frac{V(d, d)}{H} t \right] \quad \cdots \cdots \cdots (2)$$

沈降速度を $V=d(\frac{d}{d_0})-\beta d$ とし、 $V>0$ のフロックは沈降し、 $V<0$ の時、 t は沈降しないとすれば、沈降しないフロックの濃度 C_{∞} は全體としての濃度 C を名づけ、

$$C_{\infty} = \int_0^{d_{\max}} dd \int_{d_0(1+\delta)}^{d_0} \frac{f(d)}{2\delta d_0} dd = \frac{1}{2\delta d_0} \{ \beta d_0 - d_0(1-\delta) \} C_0 \quad \cdots \cdots \cdots (3)$$

但し、 $C_0 = \int_0^{d_{\max}} f(d) dd$ 、 $d_0 \pm \delta d_0$: フロックの出来具合の分布幅である。

$$C = C_{\infty} + \int_0^{d_{\max}} dd \int_{d_0(1+\delta)}^{d_0} \frac{f(d)}{2\delta d_0} \exp \left\{ - \frac{d(d_0-\beta d)}{H} t \right\} dd \\ = C_{\infty} + \int_0^{d_{\max}} \frac{Y d H}{2\delta d_0 t} d [1 - e^{-\frac{1}{H} (d_0(1+\delta)/d_0 - \beta) t}] dd \quad \cdots \cdots \cdots (4)$$

$$T = \frac{1}{H} \frac{2d_0 \delta}{d_0} d_{\max} t \quad \text{とする}$$

$$\frac{C}{C_0} = \frac{C_0}{C_0} + \frac{3}{T} \left[\frac{1}{2} - \frac{1}{T^2 (1-C_{\infty}/C_0)^2} \{ 1 - (1+T(1-C_{\infty}/C_0)) e^{-T(1-C_{\infty}/C_0)} \} \right] \cdots \cdots \cdots (5)$$

となる。 (5) 式の計算結果を C/C_0 をパラメータとして無次元時間 T と C/C_0 との関係を示したもののが図-6の曲線群である。また、計算値の $\frac{C-C_0}{C_0-C_0}=0.5$ となる T と実測値(図-3参照)の $\frac{C-C_0}{C_0-C_0}=0.5$ となる T を求め、 T を $T=1$ と換算して実測値を示したのが図-6中のプロットである。剪断応力の相違によらず、計算値と実測値はよく一致している。しかししながら、上述の考察より求められる T の値については、以下若干考慮する点が残るところあり、無次元化時間の取り扱いについては今後の研究課題としている。最後に実験に御協力いただき古賀寛一助手に感謝いたします。〈参考文献〉 1) 田原、剪断流下における底泥の沈降特性に関する研究、土木学会第36回年会講演集、1981.10.

2) 田原、底泥の動き上げと沈降に関する研究、第14回国際水工学研究討論会論文集pp.42~48 1981.1.

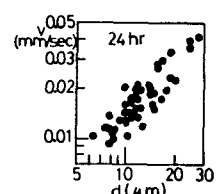
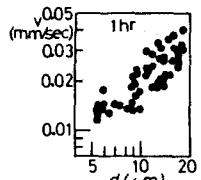
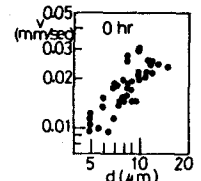


図-5 粒径と沈降速度の関係

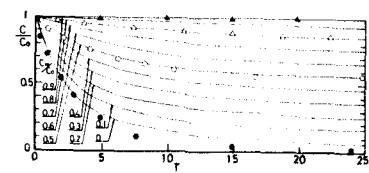


図-6 計算値及び実測値